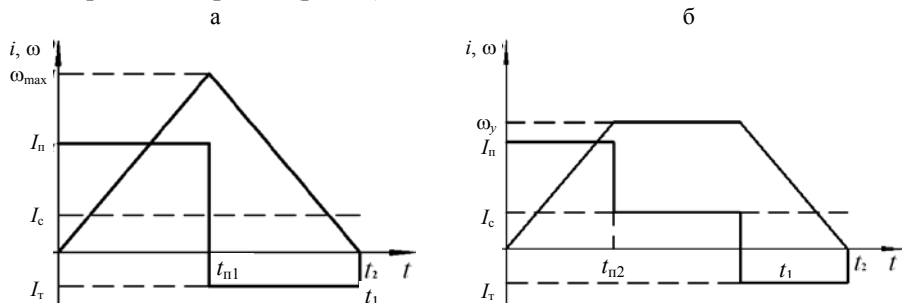


СНИЖЕНИЕ ПОТЕРЬ В ПОЗИЦИОННОМ ЭЛЕКТРОПРИВОДЕ С БЕСКОНТАКТНЫМ ДВИГАТЕЛЕМ ПОСТОЯННОГО ТОКА

Канд. техн. наук, доц. ГУЛЬКОВ Г. И.,
кандидаты техн. наук ГУЛЬКОВ А. Г., ШАИБИ Р.

*Белорусский национальный технический университет,
Университет имени Мулянд Моммери (Алжир)*

В позиционном электроприводе в зависимости от величины перемещения φ кривая изменения скорости $\omega = f(t)$ имеет треугольную или трапецидальную форму. При работе в режиме больших перемещений оптимальной по быстродействию является трапецидальная диаграмма скорости с равными ускорениями на участках разгона и торможения. При отработке угловых перемещений, равных или меньших, чем граничное $\varphi_{\text{гр}} \leq \omega_{\text{max}}^2 / \varepsilon$ (ω_{max} – максимальная скорость двигателя; ε – угловое ускорение двигателя), могут быть использованы треугольная или трапецидальная диаграмма скорости (рис. 1).



*Рис. 1. Графики скорости и тока при: а – треугольном;
б – трапецидальном законах движения*

Очевидно, что треугольная диаграмма скорости обеспечит более высокое быстродействие электропривода, чем трапецидальная. Однако отработка треугольной диаграммы сопровождается большими потерями мощности в двигателе по сравнению с трапецидальной.

Оценим целесообразность замены треугольной диаграммы скорости трапецидальной при $\varphi \leq \varphi_{\text{гр}}$ и использовании в приводе бесконтактного двигателя постоянного тока (БДПТ).

На нагрев БДПТ основное влияние оказывают электрические потери в обмотке статора и потери в стали статора. Потери в стали ротора – добавочные и механические – не учитываются, так как их влияние на нагрев двигателя незначительно [1].

Кривая изменения тока двигателя при треугольном законе движения представлена на рис. 1а. Электрические потери энергии $\Delta W_{\text{эл}}$ для треугольного закона движения равны

$$\Delta W_{\text{эл}} = \int_0^{t_{n1}} 2RI_n^2 dt + \int_{t_{n1}}^{t_1} 2RI_t^2 dt = 2R(I_n^2 t_{n1} + I_t^2(t_1 - t_{n1})), \quad (1)$$

где $I_{\text{п}}$ – ток двигателя при пуске; $I_{\text{т}}$ – ток двигателя при торможении; $t_{\text{п1}}$ – время разгона двигателя при треугольном законе движения; t_1 – то же движения двигателя; R – активное сопротивление фазы двигателя.

Для реактивного характера нагрузки токи двигателя при пуске и торможении определим следующим образом:

$$I_{\text{п}} = I_{\text{c}} + I_{\text{d}}; \quad (2)$$

$$I_{\text{т}} = I_{\text{c}} - I_{\text{d}}, \quad (3)$$

где I_{d} – динамическая составляющая тока двигателя; I_{c} – статический ток двигателя.

Подставим выражения (2) и (3) в (1) и с учетом того, что $t_1 = 2t_{\text{п1}}$, получим

$$\Delta W_{\text{з1}} = 2R(I_{\text{d}}^2 + I_{\text{c}}^2)t_1. \quad (4)$$

Кривая изменения тока двигателя при трапецидальном законе движения представлена на рис. 1б. Электрические потери энергии для трапецидального закона движения $\Delta W_{\text{з2}}$ определим с учетом равенства времен пуска и торможения и уравнений (2), (3)

$$\Delta W_{\text{з2}} = \int_0^{t_{\text{п2}}} 2RI_{\text{п}}^2 dt + \int_0^{t_1 - t_{\text{п2}}} 2RI_{\text{c}}^2 dt + \int_0^{t_{\text{п2}}} 2RI_{\text{т}}^2 dt = 2R(2I_{\text{d}}^2 t_{\text{п2}} + I_{\text{c}}^2 t_2), \quad (5)$$

где $t_{\text{п2}}$ – время разгона двигателя при трапецидальном законе движения; t_2 – то же движения двигателя.

Разделив (5) на (4), получим

$$\frac{\Delta W_{\text{з2}}}{\Delta W_{\text{з1}}} = \frac{1}{I_{\text{d}}^2 + I_{\text{c}}^2} \left(I_{\text{d}}^2 \frac{t_{\text{п2}}}{t_{\text{п1}}} + I_{\text{c}}^2 \frac{t_2}{t_1} \right). \quad (6)$$

Для равноускоренного вращательного движения характерны следующие соотношения:

$$t_{\text{п1}} = \sqrt{\varphi/\varepsilon}; \quad t_{\text{п2}} = \omega_y/\varepsilon. \quad (7)$$

Время движения привода при треугольном законе составляет

$$t_1 = 2\omega_{\text{max}}/\varepsilon, \quad (8)$$

где $\omega_{\text{max}} = \sqrt{\varepsilon\varphi}$ – максимальное значение скорости при треугольном законе.

Время движения привода при трапецидальном законе определяется по формуле

$$t_2 = \frac{\omega_y}{\varepsilon} + \frac{\varphi}{\omega_y}. \quad (9)$$

Учитывая соотношения (7)–(9), получим:

$$\frac{t_{\text{п2}}}{t_{\text{п1}}} = \frac{\omega_y}{\omega_{\text{max}}}; \quad \frac{t_2}{t_1} = \frac{1}{2} \left(\frac{\omega_y}{\omega_{\text{max}}} + \frac{\omega_{\text{max}}}{\omega_y} \right). \quad (10)$$

Подставив (10) в (6), после преобразований получим

$$\frac{\Delta W_{\text{32}}}{\Delta W_{\text{3l}}} = \frac{1}{(I_c/I_d)^2 + 1} \frac{\omega_y}{\omega_{\max}} \left[1 + \frac{1}{2} \left(\frac{I_c}{I_d} \right)^2 \left(1 + \frac{\omega_{\max}^2}{\omega_y^2} \right) \right]. \quad (11)$$

Из последнего выражения следует, что уменьшение электрических потерь энергии при замене треугольного закона движения трапецидальным зависит от соотношений ω_y/ω_{\max} и I_c/I_d . Рассматривая I_c/I_d как параметр, определим минимум функции $(\Delta W_{\text{32}}/\Delta W_{\text{3l}}) = f(\omega_y/\omega_{\max})$. Для этого про-дифференцируем следующее выражение и приравняем производную к нулю

$$(\omega_y/\omega_{\max})_{\min} = \frac{I_c/I_d}{\sqrt{(I_c/I_d)^2 + 2}}. \quad (12)$$

Подставив (12) в (11) и (10), получим:

$$(\Delta W_{\text{32}}/\Delta W_{\text{3l}})_{\min} = \frac{(I_c/I_d)\sqrt{(I_c/I_d)^2 + 2}}{(I_c/I_d)^2 + 1}; \quad (13)$$

$$(t_2/t_1)_{\min} = \frac{(I_c/I_d)^2 + 1}{(I_c/I_d)\sqrt{(I_c/I_d)^2 + 2}}. \quad (14)$$

Из (13) и (14) следует

$$(\Delta W_{\text{32}}/\Delta W_{\text{3l}})_{\min} = \frac{1}{(t_2/t_1)_{\min}}.$$

Выражения (13) и (14) позволяют определить минимум функции $(\Delta W_{\text{32}}/\Delta W_{\text{3l}})_{\min} = f(t_2/t_1)$, а выражение (12) – соответствующее этому минимуму соотношение $(\omega_y/\omega_{\max})_{\min}$ для различных соотношений токов I_c/I_d . По выражению (11) с учетом (10) построены графики зависимости $\Delta W_{\text{32}}/\Delta W_{\text{3l}} = f(t_2/t_1)$ при $I_c/I_d = (0; 0,5; 1; 1,5; 2)$ (рис. 2), на которых видно, что при замене треугольного графика движения трапецидальным снижение электрических потерь энергии при одном и том же увеличении времени тем существенное, чем меньше отношение I_c/I_d . Например, при отношении скоростей $\omega_y/\omega_{\max} = 0,7$ потери в приводе снижаются на 30 % при $I_c/I_d = 0$ и на 12 % – при $I_c/I_d = 1$, а увеличение времени составляет всего 6 %. Если же $I_c > I_d$, то замена треугольной диаграммы трапецидальной приводит к незначительному снижению электрических потерь. Так, для того же соотношения скоростей $\omega_y/\omega_{\max} = 0,7$ снижение потерь составляет 5 % при $I_c/I_d = 1,5$ и всего 1 % – при $I_c/I_d = 2$.

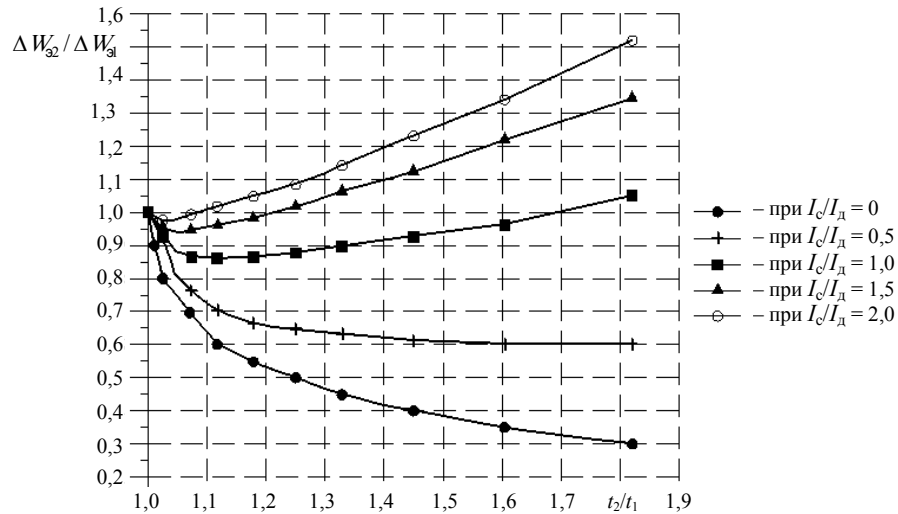


Рис. 2. Графики зависимостей $\Delta W_{32} / \Delta W_{31} = f(t_2 / t_1)$
при различных значениях I_c / I_d

Рассмотрим потери энергии в стали статора для обоих законов движения двигателя, учитывая, что потери мощности в стали [2] равны

$$\Delta P_{ct} = \Delta P_{ct}^* \omega^{1.5},$$

где ΔP_{ct}^* – потери мощности в стали при $\omega = 1 \text{ рад/с}$.

Потери энергии в стали статора при треугольном законе движения составляют

$$\Delta W_{ct1} = \int_0^{t_1} \Delta P_{ct1} dt = \Delta P_{ct}^* \int_0^{t_1} (\omega(t))^{1.5} dt = 2\Delta P_{ct}^* \int_0^{t_1} (\varepsilon t)^{1.5} dt = \frac{\Delta P_{ct}^* \omega_{max}^{1.5}}{2.5} t_1. \quad (15)$$

Потери энергии в стали статора при трапециoidalном законе движения:

$$\begin{aligned} \Delta W_{ct2} &= \int_0^{t_2} \Delta P_{ct2} dt = \Delta P_{ct}^* \int_0^{t_2} (\omega(t))^{1.5} dt = 2\Delta P_{ct}^* \int_0^{t_2} (\varepsilon t)^{1.5} dt + \Delta P_{ct}^* \int_{t_2}^{t_2 - t_{n2}} \omega_y^{1.5} dt = \\ &= 0.8\Delta P_{ct}^* \omega_y^{1.5} t_{n2} + \Delta P_{ct}^* \omega_y^{1.5} (t_2 - 2t_{n2}) = \Delta P_{ct}^* \omega_y^{1.5} (t_2 - 2t_{n2}). \end{aligned} \quad (16)$$

Разделив (16) на (15), получим:

$$\begin{aligned} \frac{\Delta W_{ct2}}{\Delta W_{ct1}} &= \frac{2.5\Delta P_{ct}^* \omega_y^{1.5} (t_2 - 2t_{n2})}{\Delta P_{ct}^* \omega_{max}^{1.5} t_1} = \\ &= 2.5 \left(\frac{\omega_y}{\omega_{max}} \right)^{1.5} \left[0.5 \left(\frac{\omega_y}{\omega_{max}} + \frac{\omega_{max}}{\omega_y} \right) - 0.6 \frac{\omega_y}{\omega_{max}} \right]. \end{aligned} \quad (17)$$

Выражение (17) позволяет, задавшись отношением угловых скоростей ω_y/ω_{\max} , определить соотношение потерь в стали статора БДПТ при трапециoidalном и треугольном законах движения. Результаты такого расчета приведены в табл. 1.

Таблица 1
Соотношения t_2/t_1 и $\Delta W_{cr2}/\Delta W_{cr1}$ для различных значений ω_y/ω_{\max}

	ω_y/ω_{\max}											
	0,3	0,4	0,5	0,55	0,6	0,65	0,7	0,75	0,8	0,85	0,9	1
t_2/t_1	0,82	1,45	1,25	1,18	1,13	1,09	1,06	1,04	1,03	1,01	1,006	1
$\Delta W_{cr2}/\Delta W_{cr1}$	0,67	0,77	0,84	0,87	0,9	0,92	0,94	0,96	0,975	0,986	0,99	1

Из таблицы следует, что при замене треугольной диаграммы трапециoidalной потери энергии в стали статора двигателя также снижаются, но незначительно. Например, при $\omega_y/\omega_{\max} = 0,7$ потери энергии в стали уменьшаются на 6 %, при увеличении времени – на 6 %.

ВЫВОД

Показана целесообразность замены треугольной диаграммы движения трапециoidalной при отработке перемещений $\phi \leq \phi_{rp} = \omega_{\max}^2 / \varepsilon$. Такая замена обеспечивает значительное снижение греющих потерь энергии в двигателе при незначительном увеличении времени перемещения.

ЛИТЕРАТУРА

1. Сандлер, А. С. Автоматическое частотное управление асинхронными двигателями / А. С. Сандлер, Р. С. Сарбатов. – М.: Энергия, 1974. – 328 с.
2. Морозовский, М. Я. Разделение суммарных потерь холостого хода на составляющие в вентильных двигателях с возбуждением от постоянных магнитов / М. Я. Морозовский, Ю. А. Хотомлянский // Электротехника. – 1990. – № 8. – С. 27–28.

Представлена кафедрой
электропривода и автоматизации
промышленных установок
и технологических комплексов

Поступила 5.05.2006